

Évaluation des muscles respiratoires à l'extubation

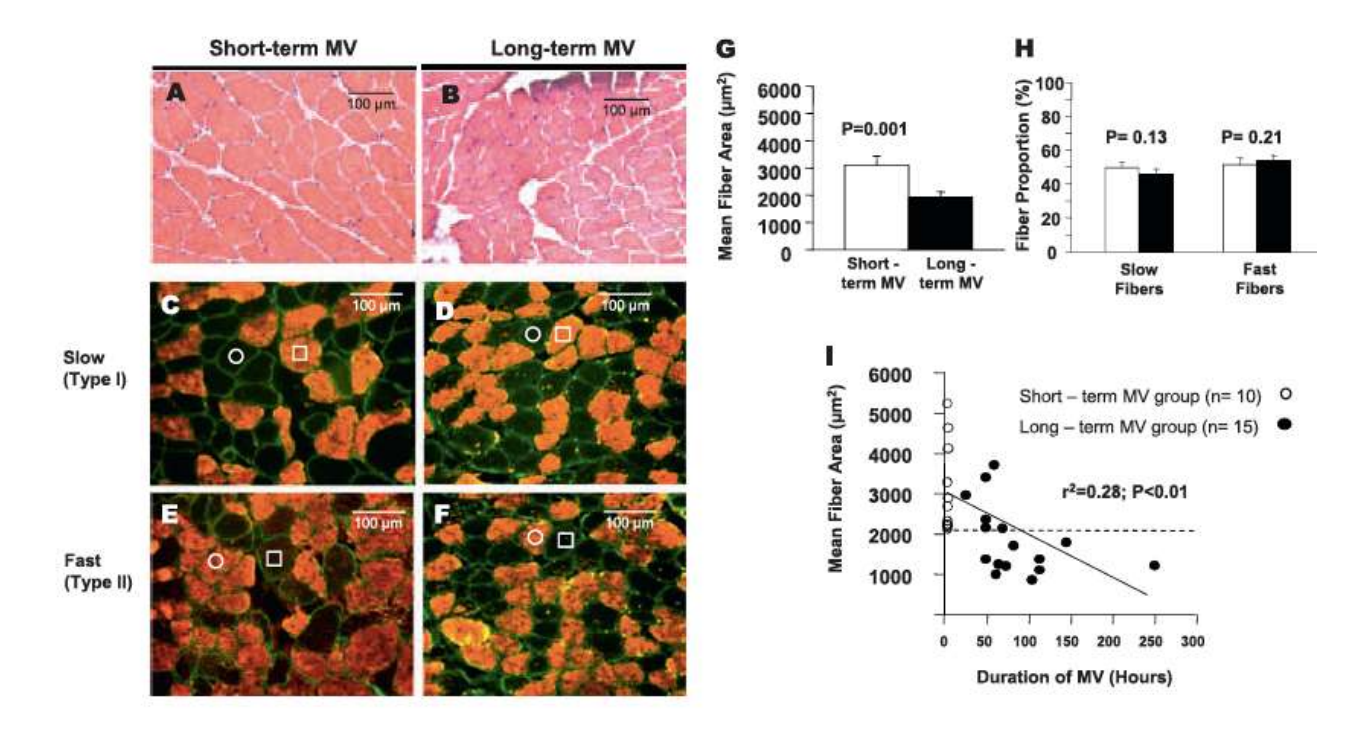
Anne FREYNET

MKDE réanimation

Magellan - Bordeaux



Dysfonction musculaire respiratoire



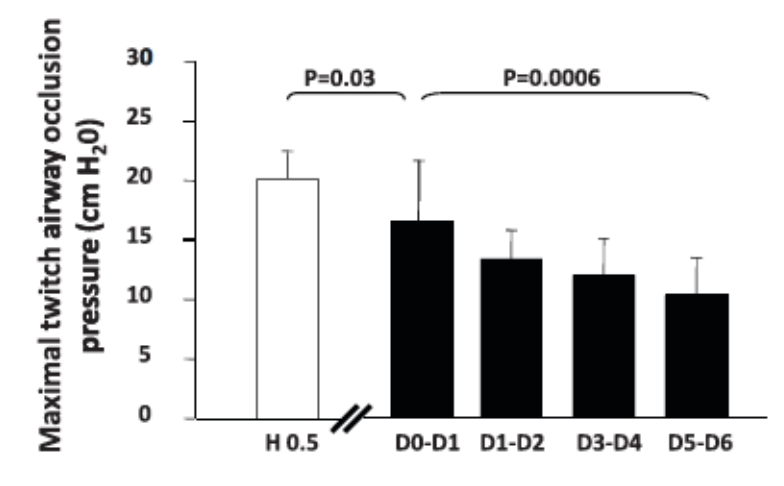
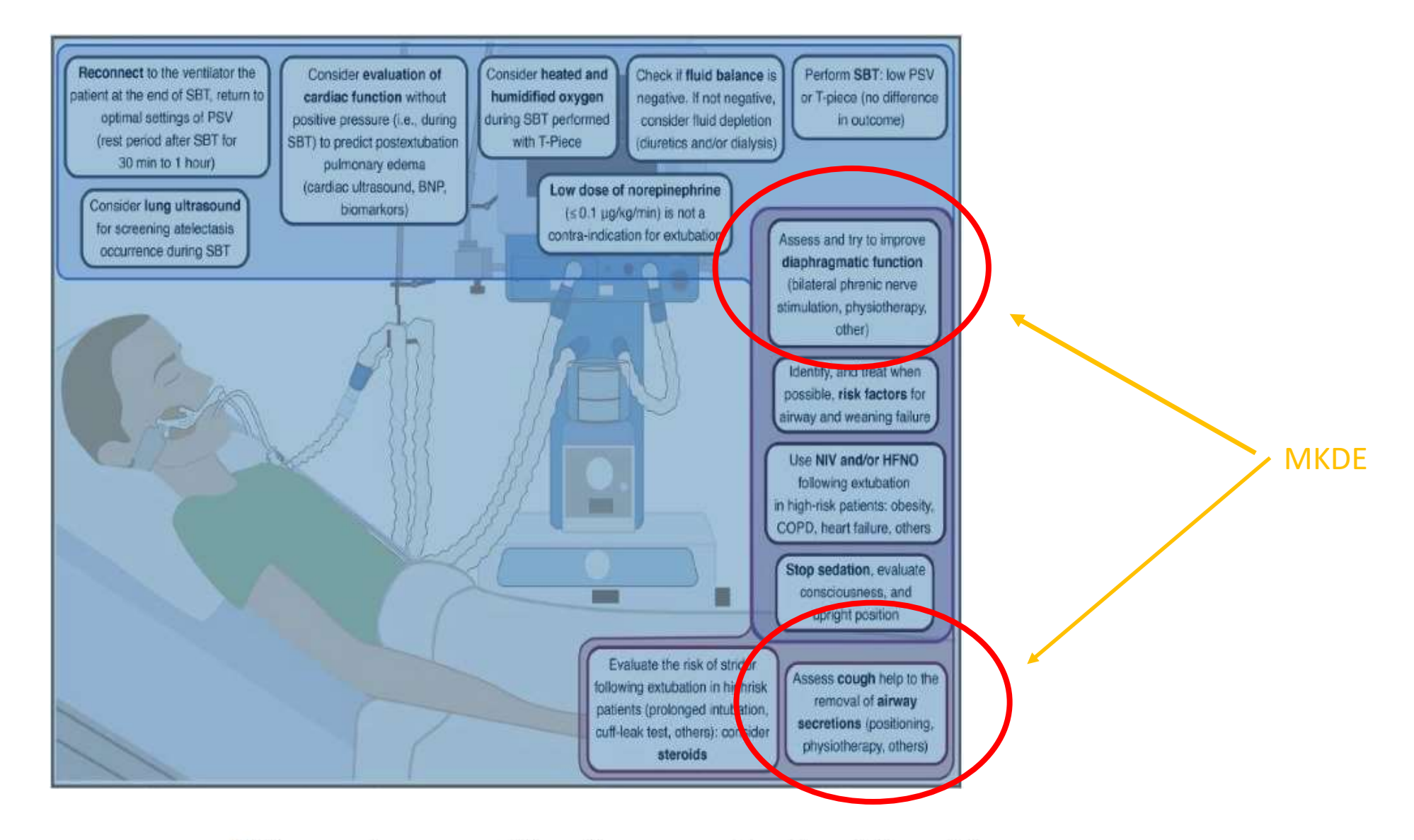


Figure 2. Relationship between duration of mechanical ventilation (MV) and diaphragmatic function. Maximal twitch airway occlusion pressure (TwPtr) generated by magnetic stimulation of the phrenic nerves at different time points in short-term MV (open bar; n = 6) and long-term MV (solid bars; n = 6) groups. H = number of hours of MV; D = number of days of MV.

Muscles Respiratoires et succès extubation



How to optimize extubation?

Audrey de Jong, Daniel Talmor, Samir Jaber

Pourquoi?

- Pour évaluer la possibilité de réaliser l'extubation
- Pour limiter les échecs d'extubation
- Pour anticiper les moyens post-extubation (OHD/ VNI / cough assist)
- Pour dépister les patients à haut risque d'échec

• Patients à haut risque d'échec

- Ventilés + 48H
- ATCD cardio ou pneumo
- IMC >30
- Échec d'extubation antérieur
- BES
- Patients neurologiques
- Patients avec NMPR

Pour qui?

Muscles inspirateurs



P 0,1 et PIM Pression inspiratoire maximale

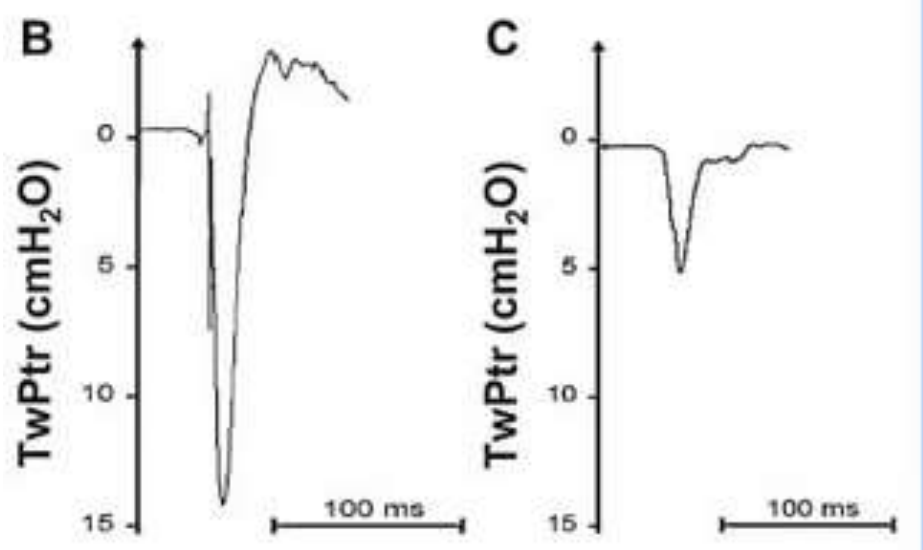
- P 0,1 : Évaluation du travail respiratoire
- normes < 2 chez patient simple et < 4 pour BPCO
- Mesure sur les tendances du respi

Fernandez, 2004 Vargas, 2008

- PIM: pression inspiratoire maximale
- normes -80 cmH2O
- Zone grise 20 cmH2O -25 cm H2O
- Extubable > 30 cmH2O
- Inspiration contre valve fermée X 3
- Respi ou système externe

Boles, 2007 De jonghe, 2008





Stimulation phrénique

Sevrage très complexe Patient conscient ou non

Évaluation diaphragme par écho

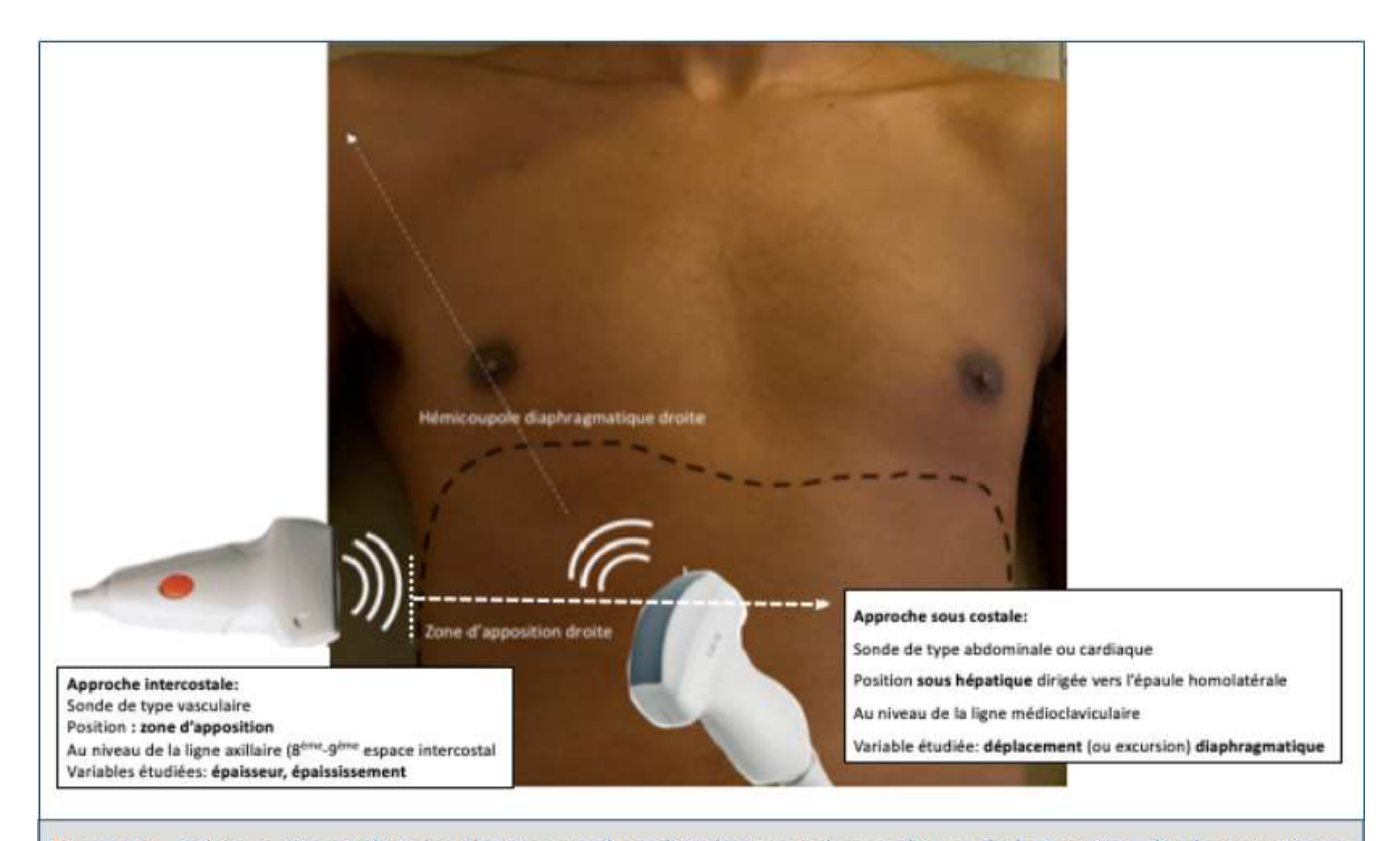


Figure 4 - Schéma récapitulant les deux approches d'évaluation échographique de la fonction diaphragmatique : intercostale et sous-costale. L'évaluation est centrée sur l'hémidiaphragme droit (plus facile à visualiser) et chez un patient en proclive entre 30 et 45°.

Fossé, 2019

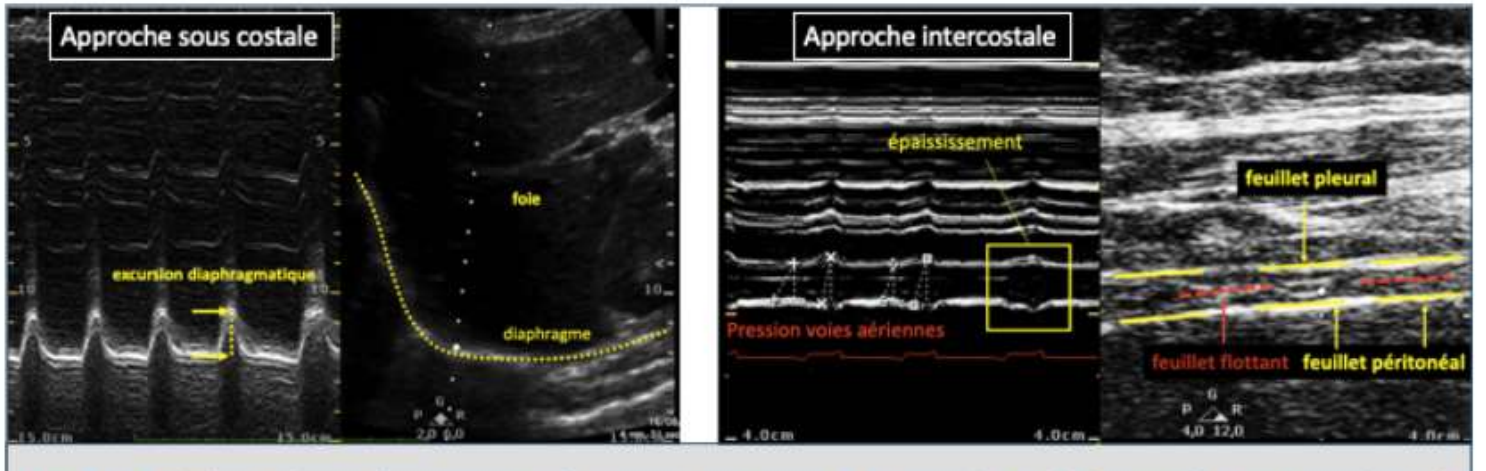


Figure 5 - Clichés échographiques en mode temps-mouvement et en mode 2D de l'approche sous-costale et de l'approche intercostale.

 Fraction d'épaississement < 20 % : dysfonction diaphragmatique

• > 25% - 35 % pour un succès de l'extubation

Épaisseur inspi – Épaisseur expi

Épaisseur expi

Gottesman, 1997

Goligher, 2018 Dres, 2018

Force de toux

 Cough Peak Flow (CPF) sur respi = CPF externe

• Cut-off CPF: 60 L/min

Ferreira, 2021

Study	Cutoff (L/min)	
Smailes et al. (9)	60.0	
Smina et al.(18)	60.0	
Beuret et al. 1191	35.0	
Salam et al. (20)	60.0	
Duan et al.[23]	70.0	
Su et al.(94)	58.5	
Duan et al.(25)*	62.4	
Duan et al.(35)†	49.8	
Duan et al.(36)	62.4	
Kutchak et al. 979	80.0	
Bai et al. (38)3	56.4	
Bai et al. 13818	56.0	
Gobert et al.(39)	60.0	
Xiao et al. 440	60.0	

AUC - area under the curve. *Voluntary cough:



Fig. 1. The electronic peak flow meter is connected to the proximal tip of the endotraches) tube via a hecterial/shall lib

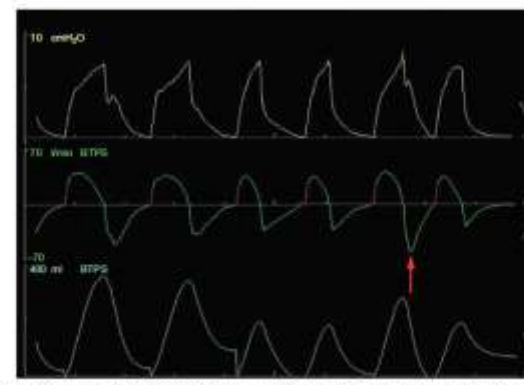
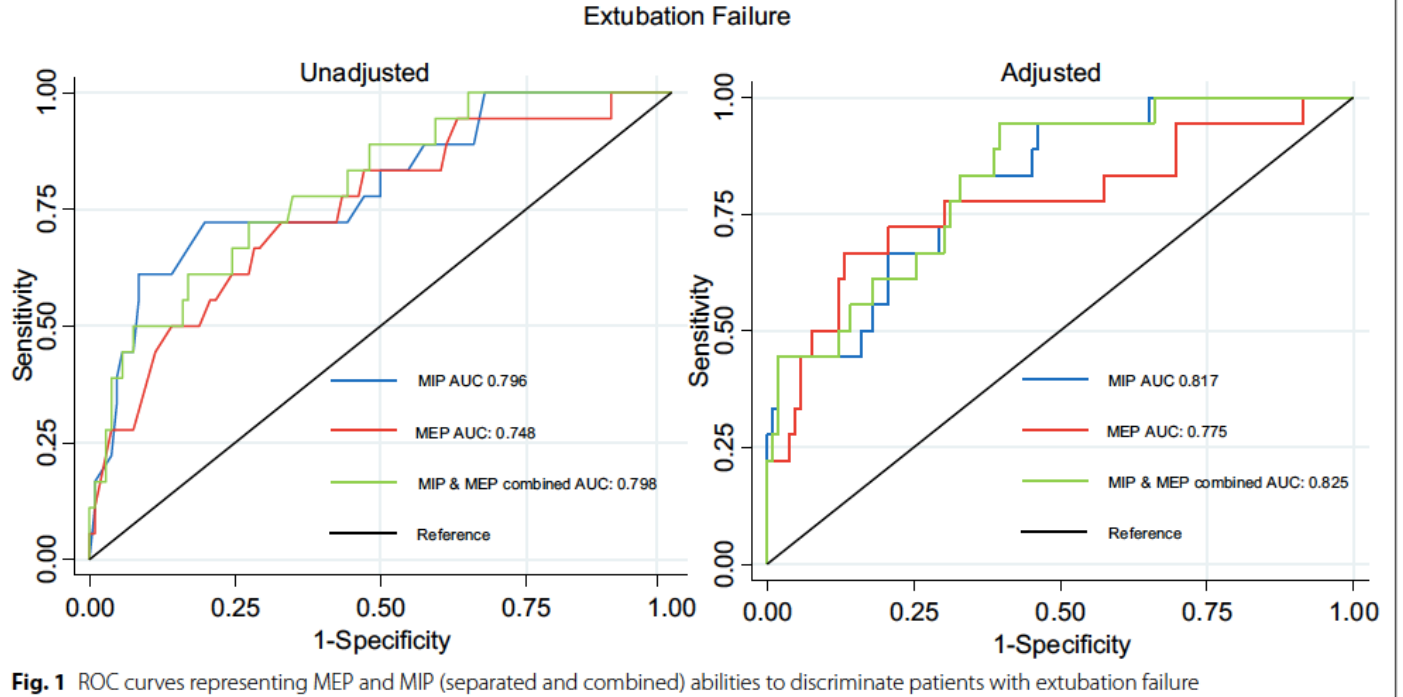


Fig. 2. On this vertilator acreen, the central curve displays the inspiratory and expiratory flow. The red arrow shows the peak expirator flow.

Fossat, 2023





- - Étude observationnelle
 - Mesure de MEP, MIP
 - Après test de sevrage réussi avant extubation
 - Corrélation entre MEP et échec extubation

Terzi, 2018

Table 2	Hairmaines and	i
Table 3	Univariate anal	yses

Parameters	No NIV or mechanical cough assistance after extubation (n = 81) Mean ± SD or n (%)	NIV or mechanical cough assistance after extubation			P value*
		All patients (n = 44) Mean ± SD or n (%)	Patients who required NIV (n = 36) Mean ± SD or n (%)	Patients who required Mechanical cough assistance (n = 8) Mean ± SD or n (%)	
FVC (mL) before extubation	1571 ± 520	1146 ± 457	1121 ± 464	1257 ± 439	0.00002
MIP (cmH ₂ O) before extuba- tion	37 ± 15	31 ± 15	32 ± 15	26 ± 12	0.025
MEP (cmH ₂ O) before extuba- tion	53 ± 28	41 ± 24	44 ± 25	30 ± 16	0.021
PEF (L/min) before extuba- tion	80 ± 32	62 ± 30	60 ± 29	71 ± 36	0.004
PCEF (L/min) before extuba- tion	97 ± 36	72 ± 33	71 ± 33	75 ± 36	0.0003
VC (mL) after extubation	1838 ± 637	1364 ± 499	1343 ± 511	1463 ± 464	0.00017
FVC (mL) after extubation	1766 ± 554	1284 ± 433	1284 ± 440	1282 ± 441	0.00003
MIP (cmH ₂ O) after extuba- tion	28 ± 13	23 ± 11	23 ± 11	22 ± 10	0.07
MEP (cmH ₂ O) after extuba- tion	43 ± 22	29 ± 17	31 ± 17	21 ± 12	0.002
PEF (L/min) after extubation	142 ± 77	107 ± 63	109 ± 66	95 ± 47	0.02
PCEF (L/min) after extuba- tion	166 ± 76	107 ± 66	110 ± 72	94 ± 39	0.0001

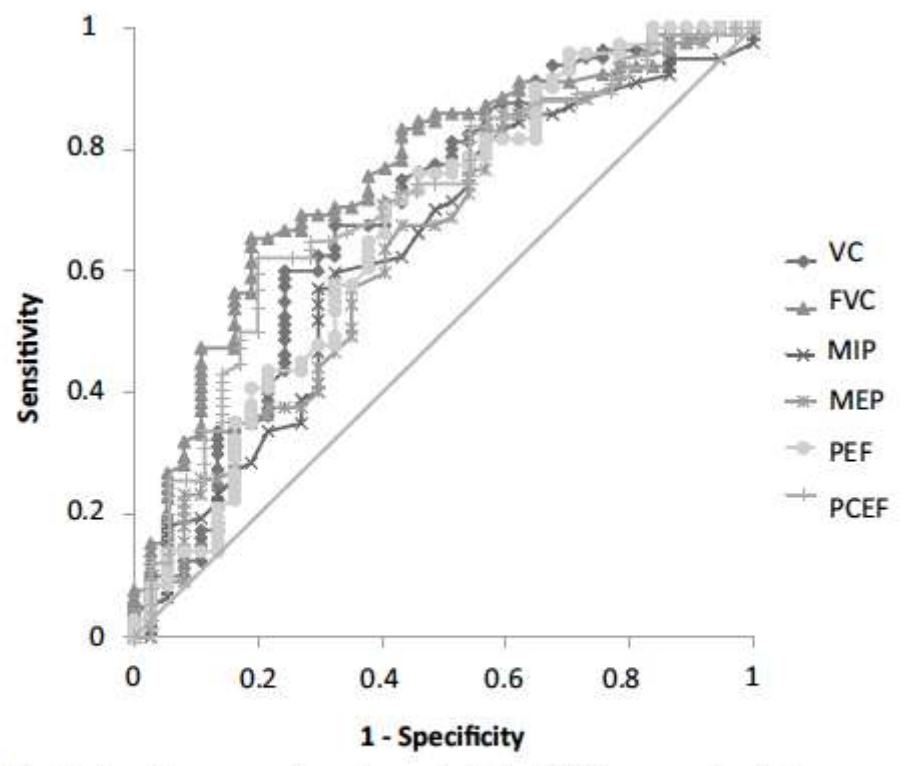


Fig. 2 Receiver operating characteristic (ROC) curves for data recorded before extubation: peak cough expiratory flow (PCEF), peak expiratory flow (PEF), forced vital capacity (FVC), slow VC, and maximal inspiratory (MIP) and expiratory (MEP) mouth pressures. AUC, area under the ROC curve

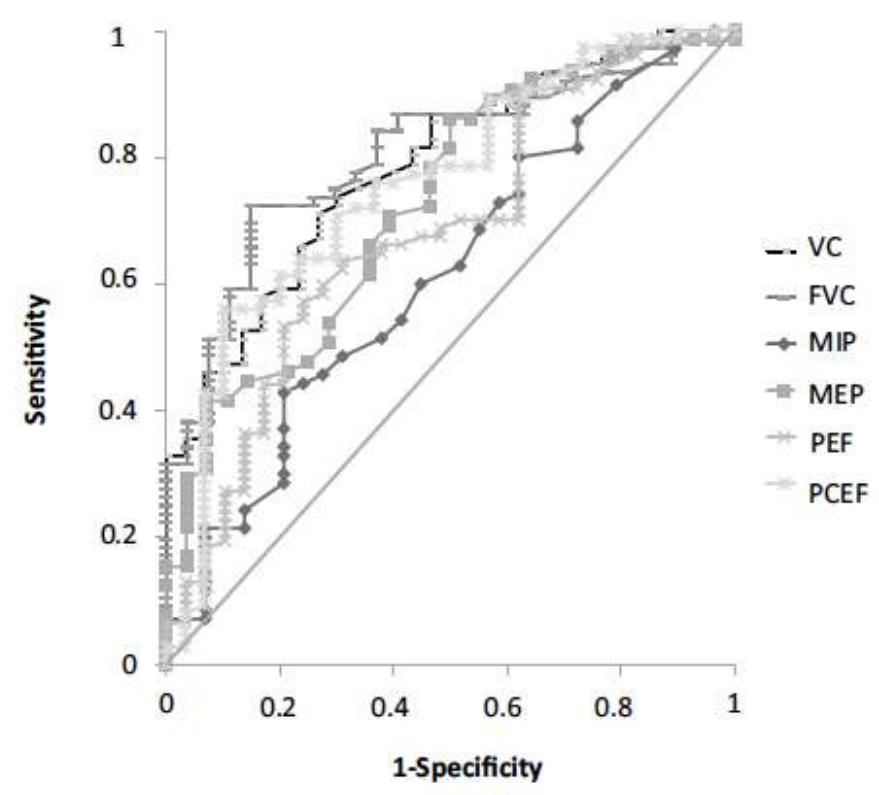


Fig. 3 Receiver operating characteristic (ROC) curves for data recorded after extubation: peak cough expiratory flow (PCEF), peak expiratory flow (PEF), forced vital capacity (FVC), slow VC, and maximal inspiratory (MIP) and expiratory (MEP) mouth pressures AUC, area under the ROC curve

Take-home message

- p 0,1 < 2 ou 4 (BPCO)
- PIM > -30 cm H2O
- Échographie : Fraction épaississement > 25-35 %

- CPF > 60 L /min / 75 L/min
- Toux cliniquement efficace

• CVF < 1420 mL pour recours à la VNI et aide à la toux